

① Simulace velkého PRAM na malém řešení typu

- p procesori, t kroků
- p' procesori: $t' = O(tp/p')$ kroků; $p' < p$
- Každý procesor simuluje $\frac{p}{p'}$ procesori: 1, všechny READ a LOC; 2, všechny WRITE
- $m' < m$, $p' = \max(p, m')$, $O(tm/m')$ kroků
- Každý procesor má na starosti m/m' buněk, přes M[i] se přistupuje ke všem simulovaným buněk

Simulace silnějšího PRAM na slabším

- 1 krok v $O(\log p)$ krocích s $m \cdot p$ buněkami paměti
 - pomocné buněky jsou vnější uzly úplného bin. stromu
- 1 krok v $O(\log p)$ krocích s $m + p$ buněkami paměti
 - pomocné pole A , P_k chce přistoupit k $M[i] \Rightarrow A[k] := (i, k)$
 - schůzemi A ($O(\log p)$ kroků), nastavení přímek zda je první procesor žádající o buněk v poli, write: P_k přečte (i, j, s) z $A[k]$ a zapíše do $A[i, j]$, P_k přečte (i, k, s) a podle přímek s provede write nebo read: P_k přečte (i, j, s) z $A[k]$, pokud $s=1$, lat $A[k] := (i, j, M[i])$; rozkopírování $(i, *, j) \rightarrow (i, *, M[i])$

Simulace EREW PRAM na APRAM

- základní křížový cyklus lze simulovat v $O(b(p))$, simulace bude trvat $O(b(p)t)$,
- $C = p \cdot t \Rightarrow C' = O(p \cdot b(p) \cdot t)$
- $p_a = p/b(p)$ čas je $O(b(p)t)$

HYPERKRYCHLE Q_n

$|V| = 2^n$; $|E| = n \cdot 2^{n-1} = \frac{n}{2} \cdot 2^n$; $\phi = n$, $\text{deg} = n$, $\text{base} = 2^{n-1}$, $n!$ permutací dimenzi, 2^n řešení ($x := x \oplus u \oplus v$),

$Q_n = Q_{n-1} \times Q_{n-1}$, uzly u a v , $\phi(u, v) = k$, k cest délky k , $n-k$ cest délky $k+2$, $\text{poincaré} \Rightarrow$ bipartita

Vnoření cest a křivic: Grayovy kódy ($b = b_{n-1} \dots b_0$, $G_n(b) = g_{n-1} \dots g_0$, $g_{n-1} = b_{n-1}$, $g_i = b_{i+1} \oplus b_i$)

Vnoření stromů: CBT_n není podgrafem Q_{n+1} , protože CBT_n není a Q_{n+1} je využitý bipartitní graf

\Rightarrow brk: zdvojení křivice = $\text{load} = \text{ecng} = 1$, $\text{dil} = 2$

Vnoření mřížky stromů: $\text{MT}_n \subset \text{CBT}_n \times \text{CBT}_n$, $\text{CBT}_n \rightarrow Q_{n+1}$ ($\text{dil} = 2$) $\Rightarrow Q_{2n+2}$

Vnoření mřížek a toroidů: $M(z)$ je podgrafem $Q_{\lceil \log z \rceil}$ (použitý Gray kód), $M(z_1, \dots, z_n)$ je faktorem

$Q_{n+1 \dots n+1}$ alg. upádní: $M \rightarrow Q$: převod jednotlivých souřadnic do Gray kódu + zřetězení

Vnoření CCC_n : $\text{CCC}_n \subset Q_n \times T(n) \subset Q_n \times Q_{\lceil \log n \rceil} = Q_{n+\lceil \log n \rceil}$

② MRÍŽKA $M(z_1, z_2, \dots, z_n)$

$|V| = \prod_{i=1}^n z_i, |E| = \sum_{i=1}^n (z_i - 1) \prod_{j=1}^n z_j, \phi = \sum_{i=1}^n (z_i - 1), b_{we} = \frac{\prod_{i=1}^n z_i}{\max_i z_i}$ (z_i sudé), $\max_i z_i$ liché $\rightarrow + \min_i z_i (-1)$

$M(z_1, z_2, \dots, z_n) = M(z_1) \times M(z_2) \times \dots \times M(z_n)$, počet disjunktních cest mezi 2 uzly je roven minimu ze skupiny koncových uzlů, ~~střídá~~ bipartitní

TOROID $T(z_1, z_2, \dots, z_n)$


$|V| = |M|, |E| = n \cdot \prod_{i=1}^n z_i, \phi = \sum_{i=1}^n \lfloor \frac{z_i}{2} \rfloor, \text{deg} = 2n, b_{we} = 2 \cdot b_{we}(M)$, prohození $x_1 \oplus_{z_1} u_1 \oplus_{z_2} v_1$

$T(z_1, z_2, \dots, z_n) = T(z_1) \times T(z_2) \times \dots \times T(z_n)$, bipartitní \Leftrightarrow délky všech kružnic sudé

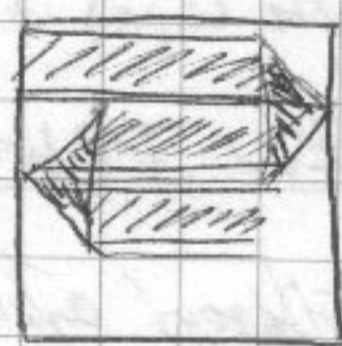
vnětření lin. poli a kružnic do M a T : Peanova křivka ($\text{dil} = \sqrt{N}$) $\frac{M}{T}$ relativní,

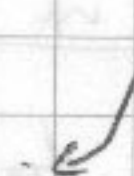
T má hem. kružnici, M má H . cestu

vnětření mřížky do toroidu: M je podgrafem T

vnětření toroidu do mřížky: $\text{load} = 1, \text{dil} = \text{cong} = 2$ 

vnětření $\square M$ do $\square M$: $M(\sqrt{z_1, z_2}, \sqrt{z_1, z_2}), \text{dil} = \lceil \sqrt{z_1, z_2} \rceil, \text{load} = 2, \text{cong} = 1 + \lceil \sqrt{z_1, z_2} \rceil$



vnětření $\square M$ do $\square M$: $\text{dil} = 1, \text{load} = \text{cong} = 2$ 

KRUŽNICE PROPOJENÉ KRYCHLÍ DIMENZE n CCC_n

$|V| = n \cdot 2^n, |E| = n \cdot 2^{n-1} + n \cdot 2^n$ (kružnice), $\phi = (2n-2) + \lfloor \frac{n}{2} \rfloor, b_{we} = 2^{n-1}, n$ sudé \Rightarrow vyvážený bipartitní

WBF_n ZABRZENÝ MOTÝLEK

$|V| = n \cdot 2^n, |E| = n \cdot 2^{n+1}, \phi = n + \lfloor \frac{n}{2} \rfloor, b_{we} = 2^n, \text{deg} = \{4\}$

OBF_n OBÝČEJNÝ MOTÝLEK

$|V| = (n-1) \cdot 2^n, |E| = n \cdot 2^{n+1}, \phi = 2n, b_{we} = 2^n, \text{deg} = \{2, 4\}$

2D MRÍŽKA STROMŮ VŠIM n MT_n

$MT_n \subset CBT_n \times CBT_n$

vnětření do hyperkubických síť (obzvlášť užitečné jsou výpočetně ekvivalentní)

① CCC_n je faktorem wBF_n $\varphi((i,x)) = (i \oplus n \cdot \text{parity}(x), x)$

② $wBF_n \rightarrow CCC_n$ $\text{dil} = \text{cong} = 2$ 2×2 motýlek \rightarrow 3 hrany cesty v CCC

③ $OBF_n \rightarrow wBF_n$ $\text{load} = 2, \text{dil} = 1$, slouží koncové body \Rightarrow dostaneme kružnici \Rightarrow konstantní zpoždění

③ vnoreni lineárního pole a kružnice do obecné sítě

N-vrcholová kružnice C lze vložit do jakékoli N-uzlové sítě G s $\text{load}=1, \text{dil} \leq 3, \text{cong}=2$

- 1, udělat kódu T_G ; 2, uzly rozdělit na sudé (V_0) a liché (V_1) úrovně; 3, procházení zleva doprava a umístování C do T_G pokud: a, x je ve V_1 a je to první místo x $b, x \in V_0$ a je to poslední místo x

spodní mez dilatace: při vnoreni G do H = $\text{dil} = \frac{\phi_H}{\phi_G}$

PPS na stroju: nepřímo $O(\log n)$ kroků

primo - síťem i unitární uzly

PPS na Q_n : jako AAB na SF, žlutý jen co nás zajímá, zelený všechno, N kroků

PPS na MAT: PPS v vektor dvojnásobnou rychlost

PPS na EREW PRAM: $\lceil \log n \rceil$ kroků; $y_i := y_i + M[i-2^j]$, $M[i] := y_i$

Zhušťovací problém: procesory s paktem $f_i=1$; oslepní $f_i=0$, PPS přes pole f

paralelní počítač s predikcí přenosu: $YX \rightarrow B \xrightarrow{PPS} B' \rightarrow C$ (B shift bit)

0	S	P	q
S	S	S	S
P	S	P	q
q	q	q	q

segmentový PPS:

\oplus	b	lb
a	$a \oplus b$	lb
la	$l(a \oplus b)$	lb

Quicksort: dělení do segmentů podle pivota, $T(n,p) = O(\log n)$. $T_{PPS}(n,p)$

výpočet předchůdců z následníků: $\text{Pred}[i] := i$; if $\text{Succ}[i] \neq i$ then $\text{Pred}[\text{Succ}[i]] := i$

výpočet pořadí pomocí přeskoku ukazatelů: $\lceil \log n \rceil$ kroků: $\text{Rank}[i] += \text{Rank}[\text{Succ}[i]]$

$\text{Succ}[i] := \text{Succ}[\text{Succ}[i]]$; počáteční nast Rank: if $\text{Succ}[i] = i$ then $\text{Rank}[i] := 0$ else $\text{Rank}[i] := 1$

Eulerovské cesty: souvislý graf je eulerovský pokud je sudý stupeň každého uzlu,

strom: hrana \rightarrow 2 hrany (hrany-dvojčata), seznam uzlů AL, seznam hran EL,

seznam následníků eula. kružnice $ET[e] := (EL[e].S) \uparrow$. Next

pole čísel hran eul. cesty EA (výpočet z Ranku)

rodičové: $\text{Dir}[xy] := \text{Rank}[xy] < \text{Rank}[yx]$? 'F': 'R'; Rank = pořadí hran v Euler cestě

velikost podstromů: 1, počet uzlů v podstromu je roven polovině počtu hran podstromu

$(\text{Rank}[ij] - \text{Rank}[ji] + 1) / 2$ kde $j = \text{Parent}[i]$

2, počet uzlů podstromu je roven počtu jeho dopředných hran

$\text{Weight}[e] := \text{Dir}[e] = 'F'$; PPS přes Weight; $\text{Weight}[xy] - \text{Weight}[yx]$

④ úroveň uzlů: 1, if $Dir[E] = F$ then $Weight[E] = 1$ else $Weight[E] = -1$, 2, PS přes $Weight$
číslorátní preorder: levě, levo, pravě, číslo = počet dopředných hran

NEPRÁVNÉ TRÍDICÍ SÍTĚ: $n/2$ komparátorů ve sloupci, datově necitlivé

Právné třídicí síť: CE a ME operace mezi páry uzlů, špatně, možná na prav. ús. je \emptyset síť

naivní PRAM řízení: 1, P_1 předá oslulm N , 2, každý proc. seřadí svůj N/p osel

3, P_2 proc. slouží $p/2$ dvojic posloupností o velikosti $N/p \Rightarrow P_2$ seřadí postupnosti
o délce $2N/p$, 1 proc. slouží 2 poslední $\frac{N}{2}$

sudo-liché transpozice na lin. poli: paralelní Bubble sort, N kroků, operace CE

ShearSort na 2D mřížce: cílem je seřadit osla horizontálně po řádcích

$\lceil \log n \rceil + 1$ řádků, $\lceil \log n \rceil$ řádků sloupců

$$T(N, N) = \underbrace{\Theta(n(\log n + 1))}_{\text{Sortování řádků}} + \underbrace{m \cdot \log n}_{\text{Sortování sloupců}} = \Theta(N \log N)$$

Tridění na 3D mřížce $M(n, n, n)$: 1) třídění xz rovin, 2) třídění yz rovin

3) třídění xy rovin shodově; 4) lichá-sudá a sudo-lichá transpozice ve
všech sloupcích paralelně; 5) třídění xy rovin

Sudo-lichý MergeSort $O(\log^2 N)$ CE křivka

$$EDMS(a_0, \dots, a_{2n-1}) = EDMerge(EDMS(a_0, \dots, a_{n-1}), EDMS(a_n, \dots, a_{2n-1})) \quad \text{log}_2 \text{ kroků}$$

$$EDMerge(A, B) = \text{Parovane CE}(\text{Promíchání}(EDMerge(\text{sudý}(A), \text{lichý}(B)), EDMerge(\text{lichý}(A), \text{sudý}(B))))$$

B-konický MergeSort $N = 2^m$ osel na $Q_n \Rightarrow O(\log^2 N)$ CE křivka

$$BSort^+(a_0, \dots, a_{2n-1}) = BMerge(BSort^+(a_0, \dots, a_{n-1}), BSort^+(a_n, \dots, a_{2n-1}))$$

$$BMerge(A) = BMerge(A_L) BMerge(A_H), \text{ kde } (A_L, A_H) = BPA(A)$$

na 2D mřížce Peanovo indexování, $S = \sum_{i=1}^{\log N} \sum_{j=1}^i 2^{i-j-1} \approx 7/8 N$

celková délka komunikačních cest na jeden procesor

⑤ SMĚROVÁNÍ

$$t_{SF} = t_s + d \cdot n \cdot t_m$$

$$t_{WH} = t_s + d \cdot f_d + p \cdot t_m$$

ZABLOKOVÁNÍ V NEPRAVIDELNÝCH TOPOLOGIÍCH - algoritmus NAKORU / DOCU

sestavení 1, koska grafu \Rightarrow strom \Rightarrow strom má bládný

2, pro každou hranu určit orientaci (NAKORU / DOCU)

směrování: nejdelší používám hranu co jsou vstoup a pak ty co jsou dole

všeport SF $M_k(n, \dots, n)$ - permutace v $k(N-1)$ krocích

- minimální směrování FF = Farthest First = nejvzdálenější vjezd (N-1) kroků

no - V mřížce poznám XY směrování + FF

MINIMALIZACE PAMĚTĚVÝCH POŽADAVKŮ PŘI PERMUTACÍCH V N N UZLECH aby se pakety pokládaly

Randomizace perm. směr - přes vhodně vygenerovaný mezilehlý uzel nebo přes

vhodně zvolený uzel ve stejné části sloupce

Perm. směrování založené na třídění: 1, třídění do řádků po sloupcích podle adres

cílových sloupců, 2, každý druhý sloupec převácen, 3, ^{permutace} ~~permutace~~ do cílových sloupců,

4, permutace do cílových řádků

Offline permutační směrování: 1, předpořadí permutaci, aby byl v řádku max. 1 paket

určený pro jakýkoliv daný sloupec, 2, ve všech sloupcích se provede permutace, 3, sloupe, 4, řádky

OAS v SF: všeport ($\rho=0$), 1-port ($\rho = \max(\rho, \log(V))$), pro všeport je triv. alg. ZAPLACOVÁNÍ

EREW FRAM: bin. zdvojování, úplný graf a hyperkrychle: binomická koska

mřížky: dimenzionálně uspořádané kosky

OAS v WH: k-portová síť $\rho = \log_{k+1} N$

hyperkrychle: Algoritmus dvojitého stromu

mřížka 1 port a toroid 1 port: binární zdvojování

všeport M a T: $\rho = \log_{2k+1} N$, 3 řádky diagonální algoritmus

- do všech řádků, 2, na hlavní diagonálu, 3, do 4 diagonálních pářů rekursivně

MC: hyperkrychle: setřídění + bin. zdvojování

mřížky: setřídění, rozdělit na poloviny, je-li ve spodní polovině, tak posle } pro 1-trou
prvnímu uzlu v horní polovině, jinak posledního uzlu spodní polovině } WH PD

OAS nekombinující: 1 port: FF, všeport: $\rho = \frac{N-1}{\text{stupeň zdvojovacího uzlu}}$

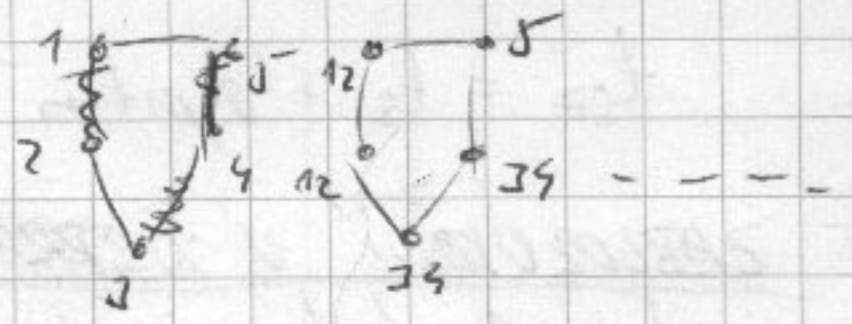
OAS kombinující: jako OAS, ale jiné velikosti zprávy, SF: postupné přeposílání

WH: binární zdvojování, hyperkrychle: binom. koska

⑥ AAB v komb. SF, FD:

úvězky: Sudo-liché úvězky ($r = \begin{cases} r-1 & r \text{ sudé} \\ r & r \text{ liché} \end{cases}$)

toroidy: — " — ($r = \begin{cases} \frac{r}{2} & r \text{ sudé} \\ \frac{r+3}{2} & r \text{ liché} \end{cases}$)



hyperkrychle: n krotek, velikost zprávy se v každém kroku zdvojnásobí

AAB v nekomb. SF, FD: $\rho = \left\lceil \frac{N-1}{\text{minimální slovní úhel}} \right\rceil$

2D M: uzel vyše svůj paket oběma směry po Ham. kružnici

T_n a Q_n: časově hranově disjunktivní kódy pro všechny uzly (genetická kódování + předání)

AAS: SF s komb = standardní úvězka na hyperkrychli $t_{AAS}(Q_n) = n \cdot (t_s + p \cdot n \cdot 2^{n-1})$

1D T: cyklické bitování

WH s komb: stejné jako WH nekomb, nebo SF SV na Q_n


M a T: binární úvězka = rekursivní dělení, log N páží, ale kódování má několik krotek kvůli záhlaví. WH kanál; každý krok = úvězka N/2 paketů

WH bez kombinace: Q_n - přímá úvězka 2ⁿ-1 permutací T_{ij}: x → x xor j
 $t_{AAS} = (2^n - 1) \cdot (t_s + n \cdot t_d / 2 + p \cdot n \cdot 2^{n-1})$

LIN. ALGEBRA

transpozice matice: proužkové mapování → AAS, SF 2D Hotela: submatice v řádcích výsledky horizontálně k W. diagonále,

$$T(n^2, p) = t_s + 2 \cdot \underbrace{(n/p - 1)}_{\text{vzdálenost}} \cdot \underbrace{\frac{n^2}{p}}_{\text{velikost 1 submatice}} + O\left(\frac{n^2}{p}\right) \text{ lokální}$$

Q_n: → M(√2ⁿ, √2ⁿ) virtuální mřížka  $T(n^2, p) = (t_s + 2 \cdot \frac{n^2}{p} \cdot t_m) \cdot \frac{n}{2} + O(\frac{n^2}{p})$

Násobení matice vektorem:

proužkové mapování po řádcích: každý procesor má svou část x ostatním (AAS)
 2, sekvencně skalární součin

proužkové mapování po sloupcích: sekv. skal. součin, redukce se sestává, příp. rozložení výsledků

Sachovnicové mapování: 1, pravé procesory poslat x na diagonálu, zby je rozloženo ve sloupci, 3, lokální násobení, par. redukce v řádcích

Násobení matice: náivní algoritmus M(m, l, n), (m × l) × (l × n), součin + paralelní redukce

méně náivní: blokové Sachovnicové mapování, v řádcích se rozložou všechny submatice A ve sloupci se rozložou všechny submatice B, na každém procesoru se spočítá výsledná submatice C

Cannonův algoritmus: toroid, předvolace A doleva, B nahoru, √p krotek (P_{ik} vynásobí momentální submatice, přičte k C + učte si rotaci A doleva, B nahoru)

⑦ Foxův algoritmus: TP křídla (OAB submatice A z diagonály, přičtení součinné submatice, rotace B)

● Tridiagonální soustava rovnic: logn redukce, kdy se do sudých rovnic dosazují x_i = kvantě lichých rovnic

LU dekompozice: $A = L \times U$ $L = \begin{bmatrix} 1 & 0 & 0 \\ l_{21} & 1 & 0 \\ 0 & 0 & 1 \end{bmatrix}$ $U = \begin{bmatrix} u_{11} & u_{12} & u_{13} \\ 0 & u_{22} & u_{23} \\ 0 & 0 & u_{33} \end{bmatrix}$, střídavě se používají řádky

U a sloupce L, blok. cyklické mapování (sacharice)

$M(r, r)$, $r = \sqrt{p}$, $n = r \times q$, submatice jsou $s \times s$, procesor jich má q^2

Jacobiho iterativní metoda: $\vec{x}_i(t+1) = \frac{\vec{b} - A_{-i} \vec{x}^i(t)}{a_{ii}}$; krok $\approx O(A \cdot \vec{x}^i(t))$

- počet kroků není dopředu znám, while ($\|\vec{r}^i(t)\| > \epsilon$)